

## Литература

1. Свешников А. Г., Боголюбов А. Н., Минаев Д. В., Сычкова А. В. // Радиотехн. и электроника. 1993. 38, № 5. С. 804.
2. Боголюбов А. Н., Минаев Д. В. // Вестн. Моск. ун-та. Физ.

- Астрон. 1993. № 2. С. 67 (Moscow University Phys. Bull. 1993. N 2. P. 63).
3. Nelder J.A., Mead R. // Computer J. 1964. 7. P. 172.

Поступила в редакцию  
05.02.97

## РАДИОФИЗИКА

УДК 621.3.09:621.373.1

## КОНКУРЕНЦИЯ ПРОЦЕССОВ САМОЛОКАЛИЗАЦИИ И ДЕЛОКАЛИЗАЦИИ ДВУМЕРНЫХ ВОЛН В НЕЛИНЕЙНОЙ РЕШЕТКЕ

А. П. Сухоруков, А. В. Чурилова

(кафедра радиофизики)

Рассматривается эволюция колебаний в двумерных решетках с кубической нелинейностью вблизи седловой точки дисперсионной поверхности. С помощью двух найденных первых интегралов получено строгое аналитическое решение связанных нелинейных дифференциальных уравнений для ширины области возбуждения, описывающих процессы самолокализации и делокализации в двух взаимно перпендикулярных направлениях. Установлены основные закономерности пространственной динамики колебаний в зависимости от соотношения нелинейных и дисперсионных свойств системы.

## Введение

Анализу динамических процессов при формировании двумерных нелинейных структур уделяется большое внимание в оптике, радиофизике, физике твердого тела, физике поверхностных волн и т. д. (см., напр., [1–4]). При этом особый интерес представляет изучение возбуждения решетки вблизи особых точек дисперсионной поверхности, где групповая скорость близка к нулю. Ранее нелинейная динамика рассматривалась в основном около экстремальных точек. При этом в рамках модели сплошной среды процессы самолокализации или делокализации описывались 3D-уравнениями типа НУШ [5]. В настоящей статье внимание уделяется сравнительно новому типу нелинейной динамики вблизи седловой точки дисперсионной поверхности. Здесь вдоль одного направления развивается самолокализация, а в перпендикулярном — делокализация нелинейных колебаний. В соответствии с этим эволюционное уравнение для колебаний принимает принципиально другой вид: вторые производные по пространственным координатам, описывающие диффузию комплексной амплитуды в плоскости решетки, входят с разными знаками, а не с одним, как в НУШ. Нами выведена пара связанных нелинейных дифференциальных уравнений для ширины области возбуждения и получены строгое аналитическое и численное решения этих уравнений.

### 1. Эволюционные уравнения двумерных нелинейных колебаний

Рассмотрим двумерную решетку, составленную из контуров с резонансной частотой  $\omega_0$  и коэффициентом связи  $\chi$ . Дисперсионное уравнение для колебаний такой системы имеет следующий вид [5]:

$$\cos \Phi_x + \cos \Phi_y = (\omega_0^2 - \omega^2) / (2\chi\omega^2), \quad (1)$$

где  $\Phi_x$  и  $\Phi_y$  — набег фазы на ячейку вдоль осей  $x$  и  $y$  соответственно. Из анализа (1) следует, что на частоте  $\omega = \omega_0$  дисперсионная поверхность имеет четыре особые точки типа седла при  $\Phi_x = \pm\pi$ ,  $\Phi_y = 0$ , и  $\Phi_x = 0$ ,  $\Phi_y = \pm\pi$ .

Пусть решетка колеблется на частоте, близкой к  $\omega_0$ , с быстрой пространственной фазовой модуляцией, например, вдоль оси  $x$ :  $\Phi_x = \pi$ ,  $\Phi_y = 0$ . В рамках модели сплошной среды с кубической нелинейностью можно получить уравнение для комплексной амплитуды колебаний [5] в виде

$$i \frac{\partial A}{\partial \theta} + D \left( \frac{\partial^2 A}{\partial x^2} - \frac{\partial^2 A}{\partial y^2} \right) + \delta A + \gamma |A|^2 A = 0, \quad (2)$$

где  $\theta = \omega_0 t$  — безразмерное время,  $D = \chi l^2 / 2$  — коэффициент диффузии,  $l$  — расстояние между соседними контурами,  $\delta = (\omega_0 - \omega) / \omega_0$  — отстройка частоты,  $\gamma$  — коэффициент нелинейности. Если  $\gamma D > 0$ , то область возбуждения стремится уменьшиться вдоль оси  $x$  (самолокализация) и возрасти вдоль оси  $y$  (делокализация). При  $\gamma D < 0$  оси меняются ролями.

По аналогии с методом безаберрационного описания самофокусировки [6] представим область колебаний в виде гауссовского распределения амплитуды с квадратичной фазовой модуляцией:

$$A = \left( E_0 / \sqrt{f_x f_y} \right) \exp \left( -x^2 / (a_0^2 f_x^2) - y^2 / (a_0^2 f_y^2) - i\Psi \right), \quad (3)$$

где фаза  $\Psi = f'_x x^2 / (4D f_y) - f'_y y^2 / (4D f_x) + \varphi(t)$ , а  $f_x$  и  $f_y$  — безразмерные ширины области возбуждения, меняющиеся во времени. Подставляя (3) в (2) и следуя стандартной методике [6], можно найти систему двух

уравнений:

$$f_x'' = 1/f_x^3 - \alpha/(f_x^2 f_y), \quad f_y'' = 1/f_y^3 + \alpha/(f_x f_y^2), \quad (4)$$

где дифференцирование ведется по нормированному времени  $\tau = \theta/t_d$ ,  $t_d = 4D/a_0^2$  — безразмерное время дисперсионного расплывания,  $a_0$  — начальный радиус области возбуждения,  $\alpha = (\gamma E_0^2 a_0^2)/(4D)$  — параметр нелинейности. Система (4) имеет первые интегралы

$$H = (f_x')^2 - (f_y')^2 + 1/f_x^2 - 1/f_y^2 - 2\alpha/(f_x f_y), \quad (5)$$

$$I = f_x^2 - f_y^2 + 2\alpha\tau^2 + \beta\tau. \quad (6)$$

Здесь  $H$  — гамильтониан системы.

Рассмотрим далее эволюцию симметричного начального возбуждения решетки без фазовой модуляции, полагая  $f_x(0) = f_y(0) = 1$ ,  $f_x'(0) = f_y'(0) = 0$  и, следовательно,  $I = 0$ ,  $\beta = 0$ . Результаты численного решения уравнений (4) при  $\alpha = 100$  представлены на рис.1. Видно, что сначала ширина вдоль оси  $x$  уменьшается (происходит самолокализация), а вдоль оси  $y$  возрастает (развивается делокализация). Затем после прохождения «фокуса» наблюдается нелинейное расплывание по обоим направлениям. Однако для данного случая можно получить строгое аналитическое решение.

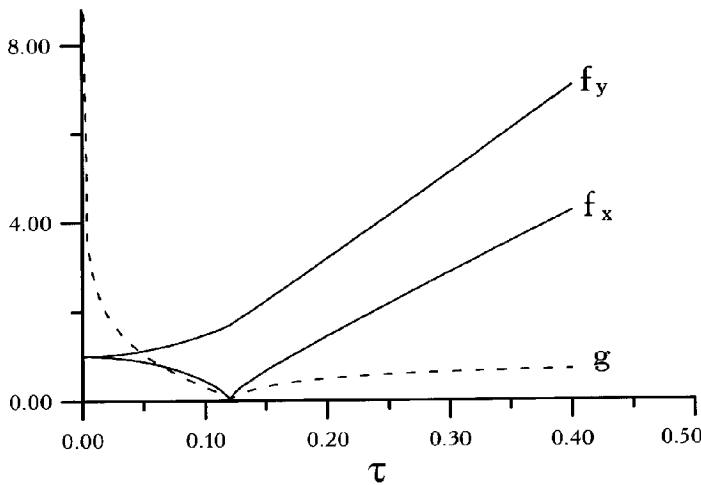


Рис.1. Зависимость ширин области возбуждения  $f_x$  и  $f_y$  от времени. Пунктиром изображен график вспомогательной функции  $g(\tau)$

## 2. Точное аналитическое решение уравнений для ширин области колебаний

Для начального возбуждения в виде круговой области  $I = 0$ ,  $\beta = 0$ . В этом случае (6) преобразуется к более простому виду:

$$f_y^2 - f_x^2 = 2\alpha\tau^2. \quad (7)$$

Теперь ширины выразим через вспомогательную функцию  $g(\tau)$ :

$$f_x = (2\alpha)^{1/2} \tau \operatorname{sh} g, \quad f_y = (2\alpha)^{1/2} \tau \operatorname{ch} g. \quad (8)$$

При этом соотношение (7) выполняется тождественно. Подставляя (8) в (5), находим уравнение для  $g(\tau)$  с разделяющимися переменными:

$$\frac{\alpha \operatorname{sh}(2g) dg}{(\alpha \operatorname{sh}(2g) - 1)^{1/2}} = \mp \frac{d\tau}{\tau^2}. \quad (9)$$

Здесь знак минус соответствует начальному убыванию функции  $g$ , а знак плюс — последующему ее росту (см. рис. 1). Интегрируя (9), получим

$$\begin{aligned} & (\sqrt[4]{1+\alpha^2} + 1/\sqrt[4]{1+\alpha^2}) F(\beta, r) - \\ & - 2\sqrt[4]{1+\alpha^2} E(\beta, r) + (2\alpha \operatorname{ch}(2g) \sqrt{\alpha \operatorname{sh}(2g) - 1}) / \\ & / (\sqrt{1+\alpha^2} + \alpha \operatorname{sh}(2g) - 1) = 2/\tau, \end{aligned} \quad (10)$$

где  $F(\beta, r)$  и  $E(\beta, r)$  — эллиптические интегралы первого и второго рода соответственно [7],

$$r = \sqrt{(\sqrt{1+\alpha^2} - 1) / (2\sqrt{1+\alpha^2})},$$

$$\beta = \arccos \left( \frac{(\sqrt{1+\alpha^2} + 1 - \alpha \operatorname{sh}(2g)) / (\sqrt{1+\alpha^2} - 1 + \alpha \operatorname{sh}(2g))}{\dots} \right).$$

Проанализируем поведение функции  $g(\tau)$ , график которой представлен на рис.1. В начальный момент времени  $\tau = 0$  имеем  $g \rightarrow \infty$ . Затем значение функции падает и достигает минимума при  $\tau_0$ . Используя (7) и (8), можно показать, что в точке минимума вспомогательной функции касательные к кривым  $f_x, f_y$  проходят через начало координат:  $f_x' = f_x/\tau_0$ ,  $f_y' = f_y/\tau_0$ . В этой же точке  $\tau_0$  нетрудно получить точные аналитические выражения для ширин области возбуждения:  $f_x = \tau_0 / \sqrt{\alpha + \sqrt{1+\alpha^2}}$ ,  $f_y = \tau_0 / \sqrt{\alpha + \sqrt{1+\alpha^2}}$ . Если нелинейность велика:  $\alpha \gg 1$ , то примерно в тот же момент времени  $\tau_{\min} \approx \tau_0$  достигает минимального значения ширина области возбуждения вдоль оси  $x$  (направления самолокализации). Из (10) можно получить следующие простые выражения:  $\tau_0 \approx \tau_{\min} = 1, 18/\sqrt{\alpha}$ ,  $f_x(\tau_{\min}) = 0, 83/\alpha$ ,  $f_y(\tau_{\min}) = 1, 668$ , что с хорошей точностью подтверждается данными численных расчетов.

На рис.2 представлены зависимости минимальной ширины  $f_{x \min}$  и соответствующего этой точке значения  $f_y(\tau_{\min})$  от параметра нелинейности  $\alpha$ . Видно, что на больших временах наблюдения  $\tau \rightarrow \infty$  эти функции стремятся к постоянным значениям, которые в принципе можно найти из неявных выражений типа (10).

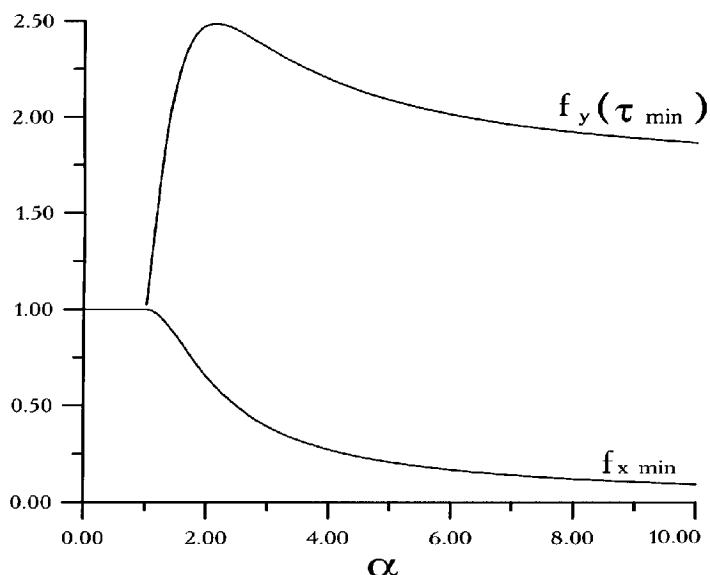


Рис. 2. Зависимости минимальной ширины области возбуждения вдоль оси самолокализации  $f_{x \min}$  и соответствующего этому же моменту времени значения ширины вдоль перпендикулярного направления  $f_y(\tau_{\min})$  от параметра нелинейности  $\alpha$

### Заключение

Таким образом, в работе исследована конкуренция процессов самолокализации и делокализации нелинейных колебаний двумерной решетки в двух взаимно перпендикулярных направлениях на частоте, близкой к седловой точке дисперсионной поверхности. Найдены точные аналитические решения двух связанных

нелинейных дифференциальных уравнений для ширины области возбуждения по двум осям. Результаты аналитических расчетов подтверждаются и дополняются данными численного моделирования. В частности, получены формулы для минимальной ширины и времени самокомпрессии.

Работа выполнена при поддержке Российского фонда фундаментальных исследований (грант 96-02-18592) и Конкурсного центра фундаментального естествознания (грант 95-0-2.2-76).

### Литература

1. Афраймович В. С., Некоркин В. И., Осипов Г. В., Шалфеев В. Д. Устойчивость структуры и хаос в нелинейных сетях синхронизации. Горький, 1989.
2. Pouget J., Remoissenet M., Tamga J.M. // Phys. Rev. 1993. **B47**, № 22. P. 14866.
3. Rainer Scharf, Bishop A.R. // Phys. Rev. 1991. **A43**, № 12. P. 6535.
4. Ведерко А. В., Дубровская О. Б., Марченко В. Ф., Сухоруков А. П. // Вестн. Моск. ун-та. Физ. Астрон. 1992. № 3. С. 4 (Moscow University Phys. Bull. 1992. № 3. P. 5).
5. Сухоруков А. П., Чурилова А. В. // Изв. РАН, сер. физ. 1996. **60**, № 12. С. 80.
6. Виноградова М. Б., Руденко О. В., Сухоруков А. П. Теория волн. М., 1990.
7. Градштейн И. С., Рыжик И. М. Таблицы интегралов, сумм, рядов и произведений. М., 1971.

Поступила в редакцию  
09.12.96

## ОПТИКА И СПЕКТРОСКОПИЯ

УДК 577.346

### ПРИРОДА НИЗКОТЕМПЕРАТУРНОГО ПИКА ТЕРМОГРАММ ЗАМЕДЛЕННОЙ ФЛУОРЕСЦЕНЦИИ ЛИСТЬЕВ

А. В. Гуцин, А. К. Кукушкин

(кафедра биофизики)

Исследована связь между термограммами замедленной флуоресценции (ЗФ) и кривыми термолюминесценции (ТЛ) листьев высших растений. Показано, что низкотемпературный пик полосы А кривой ТЛ и первый пик термограмм ЗФ имеют одну природу.

Для исследования температурной зависимости активности фотосинтетического аппарата наряду с изучением термолюминесценции часто используют так называемый метод термограмм, основанный на регистрации флуоресценции (быстрой, замедленной) при непрерывном нагревании образца после предварительного охлаждения. Изучению термограмм быстрой флу-

оресценции и термолюминесценции (ТЛ) посвящено большое количество работ [1–3] и обзоров [4, 5]. Термограммы замедленной флуоресценции (ЗФ) исследованы намного меньше, а максимумы на термограммах ЗФ объясняются только на качественном уровне [6]. Поэтому нашей задачей было изучение низкотемпературного пика термограмм ЗФ с использованием данных по ЗФ и ТЛ.